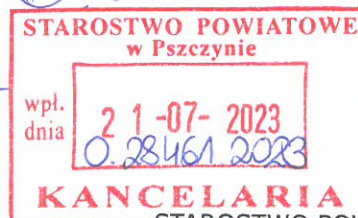


Annamaria Stawowy

611-15.2023.111

, 2023-07-21

20



14P/2023

STAROSTWO POWIATOWE W PSZCZYNI
PSZCZYNA
PSZCZYNA
UL. 3 MAJA 10

WNIOSEK

ZGŁOSZENIE

Do Starosty Powiatu Pszczyńskiego, za pośrednictwem Wydziału Ochrony Środowiska.

W załączeniu dokumenty emisyjne.

Z poważaniem

Annamaria Stawowy

annamaria.stawowy@play.pl

Załączniki:

1. [PSZ2009B_202307200000.pdf](#)
2. [20230630_PSZ2009_OS.pdf](#)
3. [URZ D MIEJSKI W PSZCZYNI RYNE 17.00- PSZ2009B OPLATA SKARB ZA PELN.PDF](#)
4. [109.07.2022 Annamaria Stawowy el.pdf](#)

Dokument nie zawiera podpisu

Podpis elektroniczny

Prowadzący instalację:

P4 Sp. z o. o.
ul. Wynalazek 1
02-677 Warszawa

Katowice, 2023-07-20

Adres do korespondencji:

P4 Sp. z o. o.
ul. Murckowska 14,
40-265 Katowice

Starosta Pszczyński

Przedłożenie informacji o zmianie danych w instalacji

o których mowa w przedłożeniu informacji dla PSZ2009B z dnia 2020-07-06

dotyczy: informacji o zmianie w zakresie danych w przedłożeniu informacji dla PSZ2009B.

Adres zakładu, na którego terenie prowadzona jest eksploatacja instalacji:

43-200 Pszczyna, Sznelowiec 2, gm. Pszczyna, pow. pszczyński

Podstawa prawna: ustawa z dnia 27 kwietnia 2001 r. Prawo ochrony środowiska, art. 152, ust 6, pkt 1, lit. c)

Niniejsza informacja zawiera wyłącznie dane, które uległy zmianie.

1) Oznaczenie prowadzącego instalację, jego adres zamieszkania lub siedziby.

Brak zmian.

2) Rodzaj i zakres prowadzonej działalności, w tym wielkość produkcji lub wielkość świadczonych usług.

Usługi telekomunikacyjne, transmisja danych: 1TB/doba.

3) Czas funkcjonowania instalacji (dni tygodnia i godziny).

Brak zmian.

4) Wielkość i rodzaj emisji.

Dane przed zmianą:

| L.p. | Nazwa anteny | Wysokość [m n.p.t.] | Rodzaj emisji | Równoważna moc promieniowana izotropowo | Azymut | Kąt pochylenia | Częstotliwość |
|------|--------------|------------------------|------------------|--|--------|-------------------|---------------|
| 1 | 11_DL | 20,5 | PEM | 4285 W | 10° | 0-4° | 1800 MHz |
| 2 | 12_GNTU | 20,2 | PEM | 1256 W | 10° | 0-4° | 900 MHz |

| | | | | | | | |
|----|---------|------|-----|--------|------|------|----------|
| 3 | 12_GNTU | 20,2 | PEM | 5035 W | 10° | 0-4° | 2100 MHz |
| 4 | 13_HV | 20,2 | PEM | 1300 W | 10° | 0-4° | 800 MHz |
| 5 | 13_HV | 20,2 | PEM | 7534 W | 10° | 0-4° | 2600 MHz |
| 6 | 21_DL | 20,5 | PEM | 4285 W | 125° | 0-4° | 1800 MHz |
| 7 | 22_GNTU | 20,2 | PEM | 1256 W | 125° | 0-4° | 900 MHz |
| 8 | 22_GNTU | 20,2 | PEM | 5035 W | 125° | 0-4° | 2100 MHz |
| 9 | 23_HV | 20,2 | PEM | 1300 W | 125° | 0-4° | 800 MHz |
| 10 | 23_HV | 20,2 | PEM | 7534 W | 125° | 0-4° | 2600 MHz |
| 11 | 31_DL | 20,5 | PEM | 4285 W | 240° | 0-3° | 1800 MHz |
| 12 | 32_GNTU | 20,2 | PEM | 1256 W | 240° | 0-3° | 900 MHz |
| 13 | 32_GNTU | 20,2 | PEM | 5035 W | 240° | 0-3° | 2100 MHz |
| 14 | 33_HV | 20,2 | PEM | 1300 W | 240° | 0-3° | 800 MHz |
| 15 | 33_HV | 20,2 | PEM | 7534 W | 240° | 0-3° | 2600 MHz |
| 16 | RL1 | 19 | PEM | 1778 W | 215° | | 80 GHz |

Dane po zmianie:

| L.p. | Nazwa anteny | Wysokość [m n.p.t.] | Rodzaj emisji | Równoważna moc promieniowana izotropowo | Azymut | Kąt pochylenia | Częstotliwość |
|------|--------------|---------------------|---------------|---|--------|----------------|---------------|
| 1 | 11_HV | 20,2 | PEM | 2594 W | 10° | 0-10° | 800 MHz |
| 2 | 11_HV | 20,2 | PEM | 7534 W | 10° | 0-10° | 2600 MHz |
| 3 | 12_GLNT | 20,2 | PEM | 2084 W | 10° | 0-10° | 900 MHz |
| 4 | 12_GLNT | 20,2 | PEM | 6354 W | 10° | 0-10° | 1800 MHz |
| 5 | 12_GLNT | 20,2 | PEM | 6638 W | 10° | 0-10° | 2100 MHz |
| 6 | 21_HV | 20,2 | PEM | 2594 W | 125° | 0-10° | 800 MHz |
| 7 | 21_HV | 20,2 | PEM | 7534 W | 125° | 0-10° | 2600 MHz |
| 8 | 22_GLNT | 20,2 | PEM | 2084 W | 125° | 0-10° | 900 MHz |
| 9 | 22_GLNT | 20,2 | PEM | 6354 W | 125° | 0-10° | 1800 MHz |
| 10 | 22_GLNT | 20,2 | PEM | 6638 W | 125° | 0-10° | 2100 MHz |
| 11 | 31_HV | 20,2 | PEM | 2594 W | 240° | 0-10° | 800 MHz |
| 12 | 31_HV | 20,2 | PEM | 7534 W | 240° | 0-10° | 2600 MHz |
| 13 | 32_GLNT | 20,2 | PEM | 2084 W | 240° | 0-10° | 900 MHz |
| 14 | 32_GLNT | 20,2 | PEM | 6354 W | 240° | 0-10° | 1800 MHz |
| 15 | 32_GLNT | 20,2 | PEM | 6638 W | 240° | 0-10° | 2100 MHz |

5) Opis stosowanych metod ograniczania wielkości emisji.

Brak zmian.

6) Informacja, czy stopień ograniczania wielkości emisji jest zgodny z obowiązującymi przepisami.

Stopień ograniczenia wielkości emisji jest zgodny z obowiązującymi przepisami.

7) (uchylony)

-/-

8) Sprawozdanie z wykonanych pomiarów poziomów pól EM, o których mowa w art. 122a ust. 1 pkt 1.

Sprawozdanie nr OS/0233/23 z dnia 2023-07-03, Nr akredytacji PCA – AB 1810.

Koordinator OŚ
Annamaria Stawowy
kom. 790005770

Podpis jest prawidłowy

Dokument podpisany przez Annamaria Stawowy
Data: 2023.07.21 09:43:21 CEST





EKO-CONNECT
LABORATORIUM BADAWCZE PÓL ELEKTROMAGNETYCZNYCH

EKO-Connect Sp. z o.o.
60-591 POZNAŃ, ul. MIODOWA 14A
Tel. 790 200 181
Tel. 790 004 761
e-mail: laboratorium@eko-connect.pl

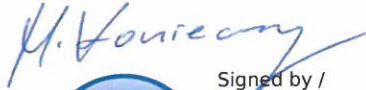



AB 1810

SPRAWOZDANIE NR OS/0233/23

Z POMIARÓW NATĘŻENIA PÓL ELEKTROMAGNETYCZNYCH

WYKONANYCH DLA CELÓW OCHRONY ŚRODOWISKA

| | | |
|---|--|--|
| Miejsce wykonania badania: <small>(dane uzyskane od zleceniodawcy)</small> | PSZ2009B 43-200 Pszczyna, Sznelowiec 2, pow. pszczyński, woj. ŚLĄSKIE | |
| Współrzędne geograficzne: | 49°58'23.16"N 18°56'12.20"E | |
| Data wykonania pomiarów: | 30.06.2023 | |
| Data wydania sprawozdania: | 03.07.2023 | |
| Zleceniodawca: | P4 sp. z o.o. ul. Wynałazek 1 02-667 Warszawa | |
| Sprawozdanie sporządził: | Maciej Konieczny |  Signed by / Podpisano przez: |
| Sprawozdanie autoryzował: | Wojciech Lubiński |  Wojciech Grzegorz Lubiński Date / Data: 2023-07-10 16:10 |

1. INFORMACJE O UŻYTKOWNIKU

1.1. Zleceniodawca: P4 sp. z o.o. ul. Wynalazek 1, 02-667 Warszawa

1.2. Charakterystyka obiektu:

- **Typ obiekt:** Instalacja radiokomunikacyjna zainstalowana na dachu budynku biurowego PSS Jedność
- **Numer obiektu:** PSZ2009B
- **Adres obiektu:** 43-200 Pszczyna, Sznelowiec 2, pow. pszczyński, woj. ŚLĄSKIE
- **Współrzędne geograficzne:** 49°58'23.16"N 18°56'12.20"E

2. CHARAKTERYSTYKA ŹRÓDEŁ PEM (dane pozyskane od Klienta)

Tabela 1. Parametry systemu nadawczo-odbiorczego

| Charakterystyka promieniowania | | | | kierunkowa | | | | | |
|---------------------------------|---------------|------------------------|------------|---|-------------|--------------------|---------------------|---------------|---------------|
| Rzeczywisty czas pracy [h/dobę] | | | | Całodobowa 24h | | | | | |
| Warunki pracy | | | | Znamionowe | | | | | |
| Rodzaj wytwarzanego pola | | | | stacjonarne | | | | | |
| Lp. | Typ nadajnika | Antena Producent / Typ | Azymut [°] | Wysokość środka elektr. anteny [m n.p.t.] | Pasma [Mhz] | Kąt nachylenia [°] | EIRP dla anteny [W] | LON | LAT |
| 1 | DBS3xxx/5xxx | Huawei ATR4518R6 | 10 | 20,2 | 800 | 0 - 10 | 10128 | 18°56'12.20"E | 49°58'23.16"N |
| | 2600 | | | | 0 - 10 | 18°56'12.20"E | | 49°58'23.16"N | |
| 2 | DBS3xxx/5xxx | Huawei ATR4518R6 | 10 | 20,2 | 900 | 0 - 10 | 15076 | 18°56'12.20"E | 49°58'23.16"N |
| | 1800 | | | | 0 - 10 | 18°56'12.20"E | | 49°58'23.16"N | |
| | 2100 | | | | 0 - 10 | 18°56'12.20"E | | 49°58'23.16"N | |
| 3 | DBS3xxx/5xxx | Huawei ATR4518R6 | 125 | 20,2 | 800 | 0 - 10 | 10128 | 18°56'12.24"E | 49°58'23.12"N |
| | 2600 | | | | 0 - 10 | 18°56'12.24"E | | 49°58'23.12"N | |
| 4 | DBS3xxx/5xxx | Huawei ATR4518R6 | 125 | 20,2 | 900 | 0 - 10 | 15076 | 18°56'12.24"E | 49°58'23.12"N |
| | 1800 | | | | 0 - 10 | 18°56'12.24"E | | 49°58'23.12"N | |
| | 2100 | | | | 0 - 10 | 18°56'12.24"E | | 49°58'23.12"N | |
| 5 | DBS3xxx/5xxx | Huawei ATR4518R6 | 240 | 20,2 | 800 | 0 - 10 | 10128 | 18°56'12.17"E | 49°58'23.11"N |
| | 2600 | | | | 0 - 10 | 18°56'12.17"E | | 49°58'23.11"N | |
| 6 | DBS3xxx/5xxx | Huawei ATR4518R6 | 240 | 20,2 | 900 | 0 - 10 | 15076 | 18°56'12.17"E | 49°58'23.11"N |
| | 1800 | | | | 0 - 10 | 18°56'12.17"E | | 49°58'23.11"N | |
| | 2100 | | | | 0 - 10 | 18°56'12.17"E | | 49°58'23.11"N | |

Tabela 2. Parametry radiolinii

| Charakterystyka promieniowania | | | | kierunkowa | | | | | |
|---------------------------------|---------------|---------------------------|---------------------|---------------|---------------------|------------|------------------------|------|------|
| Rzeczywisty czas pracy [h/dobę] | | | | 24 | | | | | |
| Rodzaj wytwarzanego pola | | | | stacjonarne | | | | | |
| Linia radiowa | | | | Antena | | | | | |
| Lp | Typ nadajnika | Częstotliwość pracy [GHz] | Moc wyjściowa [dBm] | Typ/producent | Średnica anteny [m] | Azymut [°] | Wysokość zainstal. [m] | LO N | LA T |
| Brak Radiolinii | | | | | | | | | |

Inne źródła PEM: W obszarze pomiarowym badanego obiektu **nie występują** inne źródła promieniowania pola elektromagnetycznego, które w zakresie badanych częstotliwości bezpośrednio wpływają na wynik wartości mierzonej natężenia pola.

3. OPIS POMIARÓW

Cel badań: Sprawdzenie dotrzymania dopuszczalnych poziomów pól elektromagnetycznych, w otoczeniu instalacji wytwarzających takie pola.

3.1. Data pomiarów: 30.06.2023

3.2. Nazwiska osób wykonujących pomiary: Wojciech Lubiński

3.3. Osoba towarzysząca: brak

3.4. Aparatura pomiarowa:

Tabela 3. Opis zestawu pomiarowego

| Nazwa | Typ/model | Numer fabryczny/SN | Świadectwo wzorcowania | Zastosowanie |
|--|-----------------|-----------------------|--|--|
| Szerokopasmowy miernik natężenia pola elektromagnetycznego | NBM- 520 | D-2225 | LWiMP/W/087/22 z dnia 19.05.2022 (Laboratorium Wzorców i Metrologii Pola Elektromagnetycznego Instytutu Telekomunikacji, Teleinformatyki i Akustyki Politechniki Wrocławskiej) | Pomiary pola elektromagnetycznego |
| Sonda pomiarowa pola elektrycznego | EF-9091 | A-0136 | | |
| Szerokopasmowy miernik natężenia pola elektromagnetycznego | NBM- 520 | D-2187 | LWiMP/W/381/22 z dnia 28.11.2022 (Laboratorium Wzorców i Metrologii Pola Elektromagnetycznego Instytutu Telekomunikacji, Teleinformatyki i Akustyki Politechniki Wrocławskiej) | |
| Sonda pomiarowa pola elektrycznego | EF-0691 | J-0201 | | |
| Termohigrometr | ETI 600 224-600 | D22060187 | LPTW/327/2022 z dnia 10.05.2022 (LPTW) | Pomiary wilgotności względnej powietrza Pomiary temperatury powietrza |
| Dalmierz laserowy | PLR30C | 221220722 | 45854/2 /2022 z dnia 17.05.2022 (Laboratorium pomiarowe LABOTRONIC) | Pomiar odległości |
| Odbiornik GPS | Garmin GLO2 | 1792A-A1156/5PS056463 | - | Pomiar współrzędnych geograficznych |

3.5. Wyznaczenie niepewności pomiarów:

Ocenę niepewności przyjmuje się zgodnie z procedurą stosowaną w laboratorium.

Wyznaczona rozszerzona niepewność pomiaru dla współczynnika rozszerzenia $k = 2$ dla zestawu pomiarowego z pkt.3.5 w dniu pomiaru wynosi 21,46%.

3.6. Kryteria przedstawiania stwierdzeń zgodności

Niniejsze sprawozdanie zgodnie z zasadami systemu akredytacji zawiera stwierdzenia zgodności.

W przypadku badań poziomów pola elektromagnetycznego w środowisku stwierdzenie zgodności dotyczy rozstrzygnięcia, czy zmierzona wartość opisująca pole elektromagnetyczne przekracza wartość dopuszczalną dla zakresu częstotliwości, w którym pracują źródła podane w Rozporządzeniu Ministra Zdrowia z dnia 17 grudnia 2019 r. w sprawie dopuszczalnych poziomów pól elektromagnetycznych w środowisku (Dz. U. z 2019 r. poz. 2448).

3.7. Metodyka wykonania pomiarów:

Zastosowano metodę znormalizowaną w oparciu o Rozporządzenie Ministra Klimatu i Środowiska z dnia 6 maja 2022 r. zmieniające rozporządzenie w sprawie sposobów sprawdzania dotrzymania dopuszczalnych poziomów pól elektromagnetycznych w środowisku (Dz.U. 2022 poz. 1121).

3.8. Przepisy prawne:

- Ustawa z dnia 27 kwietnia 2001 r. Prawo ochrony środowiska (Dz. U. 2022 poz. 2556).
- Rozporządzenie Ministra Zdrowia z dnia 17 grudnia 2019 r. w sprawie dopuszczalnych poziomów pól elektromagnetycznych w środowisku (Dz. U. z 2019 r. poz. 2448).
- Rozporządzenie Ministra Klimatu z dnia 17 lutego 2020 r. w sprawie sposobów sprawdzania dotrzymania dopuszczalnych poziomów pól elektromagnetycznych w środowisku Załącznik do obwieszczenia Ministra Klimatu i Środowiska z dnia 21 listopada 2022 r. (Dz. U. poz. 2630)

3.9. Opis pomiarów

Stacja bazowa PSZ2009B usytuowana jest na dachu budynku biurowego PSS Jedność zlokalizowanej pod adresem 43-200 Pszczyna, Sznelowiec 2, pow. pszczyński, woj. ŚLĄSKIE. Anteny i moduły RRU zamontowane są na antenowych konstrukcjach wsporczych a urządzenia są w szafie APM zainstalowanej na dachu. W najbliższym otoczeniu stacji zlokalizowana jest zabudowa jednorodzinna oraz wielorodzinna, zabudowa handlowo-usługowa oraz zabudowa użyteczności publicznej W otoczeniu stacji zlokalizowana jest zabudowa jednorodzinna oraz pola uprawne. Analiza parametrów technicznych wykazała, że urządzenia nadawcze stacji pracują w paśmie częstotliwości zgodnie z tabelą 1 oraz tabelą 2. Moc wyjściowa nadajników doprowadzona jest do anten przy pomocy ekranowanych fiderów.

Pomiary w otoczeniu Stacji bazowej wykonano wzdłuż kierunków maksymalnego zasięgu oddziaływania pola elektromagnetycznego na azymucie anten sektorowych do odległości określonej zgodnie z wytycznymi zawartymi w instrukcji wykonywania pomiarów, w godzinach od 12:30 do 13:20, podczas rzeczywistej pracy urządzeń wytwarzających pola elektromagnetyczne. Pomiary wykonano dla średniego pochylenia wiązki liczonego jako średnia arytmetyczna z minimalnej i maksymalnej wartości stosowanego lub planowanego kąta pochylenia

Pomiary w przyjętych pionach pomiarowych wykonano w punktach położonych na wysokościach od 0,3 m do 2,0 m nad powierzchnią ziemi lub nad innymi powierzchniami, na których mogą przebywać ludzie, przyjmując za wynik pomiaru maksymalny poziom natężenie pól elektromagnetycznego.

Przy doborze pionów pomiarowych uwzględniono charakter i sposób zagospodarowania terenu otaczającego stację bazową.

3.10. Warunki meteorologiczne / środowiskowe:

| Miejsce pomiaru | Temperatura (Minimalna/Maksymalna) [°C] | Wilgotność (Minimalna/Maksymalna) [%] | Opady atmosferyczne |
|-----------------|---|---------------------------------------|---------------------|
| Ulica | 25,0/25,0 | 42,0/42,0 | nie wystąpiły |

3.11. Sposób identyfikacji widma częstotliwości:

Parametry stacji bazowej uzyskane od właściciela instalacji stacji bazowej.

4. WYNIKI POMIARÓW

Wyniki pomiarów ważne są jedynie dla danej konfiguracji urządzeń w dniu, w którym wykonano pomiary.

Wynik pomiaru, to maksymalna wartości chwilowa zmierzona w danym pionie pomiarowym powiększona o rozszerzoną niepewność pomiaru U dla współczynnika rozszerzenia $k = 2$.

Tabela 3. Dopuszczalne poziomy pól elektromagnetycznych

| Parametr fizyczny | Składowa elektryczna | Składowa magnetyczna |
|---|----------------------------|-----------------------------|
| Zakres częstotliwości pola elektromagnetycznego | | |
| od 400 MHz do 2000 MHz | $1,375 \times f^{0,5}$ V/m | $0,0375 \times f^{0,5}$ A/m |
| Od 2 GHz do 300 GHz | 61 V/m | 0,16 A/m |

Do wyznaczania wartości wskaźnikowych WM_E i WM_H przyjęto najniższe wartości dopuszczalne poziomów pól elektromagnetycznych w/w zakresach częstotliwości.

Tabela 4. Wyniki pomiarów

| Nr pionu | Opis miejsca pomiaru | Pomiar wewnątrz pomieszczenia | Współrzędne geograficzne | | Wynik poniżej progu detekcji | E_p [V/m] | U [V/m] | $E_p + U$ [V/m] | H [A/m] | WME | WMH | Przekroczenie wartości dopuszczalnej |
|----------|--|-------------------------------|--------------------------|--------------|------------------------------|-------------|---------|-----------------|---------|------|-------|--------------------------------------|
| | | | [°] N | [°] E | | | | | | | | |
| 1 | Poziom gruntu - pomocniczy pion pomiarowy | NIE | 49,973011126 | 18,937213888 | TAK | <1,00 | 0,22 | 1,22 | 0,003 | 0,04 | 0,044 | nie przekracza |
| 2 | Poziom gruntu - oś głównej wiązki anteny sektorowej azymut 125st | NIE | 49,972961804 | 18,937002221 | NIE | 1,98 | 0,43 | 2,41 | 0,006 | 0,09 | 0,086 | nie przekracza |
| 3 | Poziom gruntu - oś głównej wiązki anteny sektorowej azymut 125st | NIE | 49,972875650 | 18,937183812 | NIE | 1,61 | 0,35 | 1,96 | 0,005 | 0,07 | 0,070 | nie przekracza |
| 4 | Poziom gruntu - oś głównej wiązki anteny sektorowej azymut 125st | NIE | 49,972819293 | 18,937345522 | NIE | 2,52 | 0,55 | 3,07 | 0,008 | 0,11 | 0,110 | nie przekracza |
| 5 | Poziom gruntu - pomocniczy pion pomiarowy | NIE | 49,972693993 | 18,937878105 | TAK | <1,00 | 0,22 | 1,22 | 0,003 | 0,04 | 0,044 | nie przekracza |
| 6 | Poziom gruntu - oś głównej wiązki anteny sektorowej azymut 125st | NIE | 49,972542984 | 18,937940520 | NIE | 1,93 | 0,42 | 2,35 | 0,006 | 0,08 | 0,039 | nie przekracza |
| 7 | Poziom gruntu - oś głównej wiązki anteny sektorowej azymut 125st | NIE | 49,972361459 | 18,938349812 | NIE | 1,84 | 0,40 | 2,24 | 0,006 | 0,08 | 0,037 | nie przekracza |

| Nr pionu | Opis miejsca pomiaru | Pomiar wewnątrz pomieszczenia | Współrzędne geograficzne | | Wynik poniżej progu detekcji | E _p [V/m] | U [V/m] | E _p + U [V/m] | H [A/m] | WME | WMH | Przekroczenie wartości dopuszczalnej |
|----------|--|-------------------------------|--------------------------|--------------|------------------------------|----------------------|---------|--------------------------|---------|------|-------|--------------------------------------|
| | | | [°] N | [°] E | | | | | | | | |
| 8 | Poziom gruntu - pomocniczy pion pomiarowy | NIE | 49,972389547 | 18,937832993 | TAK | <1,00 | 0,22 | 1,22 | 0,003 | 0,04 | 0,020 | nie przekracza |
| 9 | Poziom gruntu - pomocniczy pion pomiarowy | NIE | 49,972360780 | 18,937432402 | NIE | 1,19 | 0,26 | 1,45 | 0,004 | 0,05 | 0,024 | nie przekracza |
| 10 | Poziom gruntu - pomocniczy pion pomiarowy | NIE | 49,972425535 | 18,936590177 | NIE | 1,58 | 0,34 | 1,92 | 0,005 | 0,07 | 0,032 | nie przekracza |
| 11 | Poziom gruntu - pomocniczy pion pomiarowy | NIE | 49,972284010 | 18,935881717 | NIE | 1,43 | 0,31 | 1,74 | 0,005 | 0,06 | 0,029 | nie przekracza |
| 12 | Poziom gruntu - oś głównej wiązki anteny sektorowej azymut 240st | NIE | 49,972453405 | 18,935084546 | NIE | 1,13 | 0,25 | 1,38 | 0,004 | 0,05 | 0,049 | nie przekracza |
| 13 | Poziom gruntu - oś głównej wiązki anteny sektorowej azymut 240st | NIE | 49,972580180 | 18,935424458 | NIE | 1,24 | 0,27 | 1,51 | 0,004 | 0,05 | 0,054 | nie przekracza |
| 14 | Poziom gruntu - oś głównej wiązki anteny sektorowej azymut 240st | NIE | 49,972723533 | 18,935813964 | NIE | 2,27 | 0,49 | 2,76 | 0,007 | 0,10 | 0,099 | nie przekracza |
| 15 | Poziom gruntu - oś głównej wiązki anteny sektorowej azymut 240st | NIE | 49,972874885 | 18,936232300 | NIE | 1,32 | 0,29 | 1,61 | 0,004 | 0,06 | 0,058 | nie przekracza |
| 16 | Poziom gruntu - oś głównej wiązki anteny sektorowej azymut 240st | NIE | 49,973015383 | 18,936609154 | NIE | 2,17 | 0,47 | 2,64 | 0,007 | 0,09 | 0,095 | nie przekracza |
| 17 | Poziom gruntu - pomocniczy pion pomiarowy | NIE | 49,973166941 | 18,936438639 | NIE | 1,79 | 0,39 | 2,18 | 0,006 | 0,08 | 0,078 | nie przekracza |
| 18 | Poziom gruntu - pomocniczy pion pomiarowy | NIE | 49,973416061 | 18,936649663 | NIE | 1,90 | 0,41 | 2,31 | 0,006 | 0,08 | 0,083 | nie przekracza |
| 19 | Poziom gruntu - pomocniczy pion pomiarowy | NIE | 49,973326425 | 18,936945894 | NIE | 1,17 | 0,26 | 1,43 | 0,004 | 0,05 | 0,051 | nie przekracza |
| 20 | Poziom gruntu - pomocniczy pion pomiarowy | NIE | 49,973315628 | 18,937264579 | TAK | <1,00 | 0,22 | 1,22 | 0,003 | 0,04 | 0,044 | nie przekracza |
| 21 | Poziom gruntu - oś głównej wiązki anteny sektorowej azymut 10st | NIE | 49,973521387 | 18,936898381 | NIE | 2,28 | 0,49 | 2,77 | 0,007 | 0,10 | 0,099 | nie przekracza |
| 22 | Poziom gruntu - oś głównej wiązki anteny sektorowej azymut 10st | NIE | 49,973232856 | 18,936783152 | NIE | 2,24 | 0,49 | 2,73 | 0,007 | 0,10 | 0,098 | nie przekracza |
| 23 | Poziom gruntu - oś głównej wiązki anteny sektorowej azymut 10st | NIE | 49,973828558 | 18,936967400 | NIE | 2,02 | 0,44 | 2,46 | 0,007 | 0,09 | 0,088 | nie przekracza |
| 24 | Poziom gruntu - oś głównej wiązki anteny sektorowej azymut 10st | NIE | 49,974308949 | 18,937099073 | NIE | 2,16 | 0,47 | 2,63 | 0,007 | 0,09 | 0,094 | nie przekracza |
| 25 | Poziom gruntu - pomocniczy pion pomiarowy | NIE | 49,973713605 | 18,936413618 | TAK | <1,00 | 0,22 | 1,22 | 0,003 | 0,04 | 0,044 | nie przekracza |
| 26 | Poziom gruntu - pomocniczy pion pomiarowy | NIE | 49,973324252 | 18,935874039 | TAK | <1,00 | 0,22 | 1,22 | 0,003 | 0,04 | 0,044 | nie przekracza |
| 27 | Poziom gruntu - pomocniczy pion pomiarowy | NIE | 49,972955442 | 18,935452110 | TAK | <1,00 | 0,22 | 1,22 | 0,003 | 0,04 | 0,044 | nie przekracza |
| 28 | Poziom gruntu - pomocniczy pion pomiarowy | NIE | 49,972585444 | 18,936192039 | NIE | 1,29 | 0,28 | 1,57 | 0,004 | 0,06 | 0,056 | nie przekracza |

| Nr pionu | Opis miejsca pomiaru | Pomiar wewnątrz pomieszczenia | Współrzędne geograficzne | | Wynik poniżej progu detekcji | E _p [V/m] | U [V/m] | E _p + U [V/m] | H [A/m] | WME | WMH | Przekroczenie wartości dopuszczalnej |
|----------|---|-------------------------------|--------------------------|--------------|------------------------------|----------------------|---------|--------------------------|---------|------|-------|--------------------------------------|
| | | | [°] N | [°] E | | | | | | | | |
| 29 | Poziom gruntu - pomocniczy pion pomiarowy | NIE | 49,973197279 | 18,937802414 | NIE | 1,22 | 0,27 | 1,49 | 0,004 | 0,05 | 0,053 | nie przekracza |
| 30 | Poziom gruntu - pomocniczy pion pomiarowy | NIE | 49,973580763 | 18,937592240 | NIE | 1,01 | 0,22 | 1,23 | 0,003 | 0,04 | 0,044 | nie przekracza |
| 31 | Poziom gruntu - pomocniczy pion pomiarowy | NIE | 49,973935780 | 18,937332550 | TAK | <1,00 | 0,22 | 1,22 | 0,003 | 0,04 | 0,044 | nie przekracza |
| 32 | Poziom gruntu - pomocniczy pion pomiarowy | NIE | 49,972349656 | 18,937061782 | NIE | 1,34 | 0,29 | 1,63 | 0,004 | 0,06 | 0,058 | nie przekracza |

Objaśnienia:

$$E_p: E_{poprawne} = E_{wskazane} * C_{d(E)} * C_{f(f)}$$

U - rozszerzona niepewność pomiaru dla współczynnika rozszerzenia k=2 (poziom ufności 95%) – $U = k \times U_c$

H – wyznaczona wartość natężenia pola magnetycznego z uwzględnieniem współczynnika korekcyjnego oraz rozszerzonej niepewności pomiaru.

WME - wartość wskaźnikowa poziomu oddziaływania pól elektromagnetycznych dla miejsc dostępnych dla ludności dla składowej elektrycznej pola.

WMH - wartość wskaźnikowa poziomu oddziaływania pól elektromagnetycznych dla miejsc dostępnych dla ludności dla składowej magnetycznej pola.

* wartość zmierzona poniżej zakresu akredytacji. Do obliczeń przyjęto wartość zgodną z dolną granicą akredytowanego zakresu pomiarowego metody.

5. WNIOSKI

Stwierdza się, iż na podstawie uzyskanych wyników pomiarów i informacji uzyskanych od operatora, w otoczeniu stacji bazowej telefonii komórkowej PSZ2009B w miejscach dostępnych dla ludności, w których dokonano pomiaru, nie zostały przekroczone wartości graniczne poziomów pól elektromagnetycznych określonych w Rozporządzeniu Ministra Zdrowia z dnia 17 grudnia 2019 r. w sprawie dopuszczalnych poziomów pól elektromagnetycznych w środowisku (Dz. U. z 2019 r. poz. 2448).

Stwierdzenie zgodności zostało przedstawione na podstawie wyników badań oraz informacji uzyskanych od klienta (za które Laboratorium nie ponosi odpowiedzialności) dla instalacji opisanej w punkcie 2. Stwierdzenia zgodności dokonano na podstawie zasady podejmowania decyzji i wymagań zawartych w załączniku do Rozporządzenia Ministra Klimatu z dnia 17 lutego 2020 r. w sprawie sposobów sprawdzania dotrzymania dopuszczalnych poziomów pól elektromagnetycznych w środowisku (Dz. U. 2020, poz. 258, Dz. U. 2022, poz. 1121).

W przypadku wprowadzenia na części albo całym terytorium Rzeczypospolitej Polskiej stanu nadzwyczajnego, o którym mowa w art. 228 ust. 1 Konstytucji Rzeczypospolitej Polskiej z dnia 2 kwietnia 1997 r. (Dz. U. poz. 483, z 2001 r. poz. 319, z 2006 r. poz. 1471 oraz z 2009 r. poz. 946), lub stanu zagrożenia epidemicznego lub stanu epidemii, o których mowa w art. 46 ustawy z dnia 5 grudnia 2008 r. o zapobieganiu oraz zwalczaniu zakażeń i chorób zakaźnych u ludzi (Dz. U. z 2020 r. poz. 1845, z późn. zm.), pomiarów, o których mowa w ust. 1, nie przeprowadza się w lokalach mieszkalnych oraz w lokalach użytkowych zlokalizowanych na terytorium objętym stanem nadzwyczajnym, stanem zagrożenia epidemicznego lub stanem epidemii.

- Sprawozdanie zawiera 9 stron
- załączniki: nr 1 – mapa z rozmieszczeniem pionów pomiarowych wokół obiektu


Bez pisemnego zezwolenia laboratorium Eko-Connect sprawozdanie nie może być powielane inaczej, jak tylko w całości.

■ **Otrzymują:**

1. Zleceniodawca: - 1 egz.
2. a / a: 1 egz.

Koniec sprawozdania

Załącznik nr 1 do sprawozdania nr OS/0233/23

| | | | |
|---|--|---|--|
|  | | Laboratorium Badawcze Eko-Connect Sp. z o.o. 60-591 POZNAN, ul. MIODOWA 14A | |
| Obiekt: Instalacja radiokomunikacyjna PSZ2009B, 43-200 Peczyna, Sznelowiec 2, pow. pszczyński, woj. ŚLĄSKIE | Inwestor: P4 Sp. z o.o. ul. Wymalazek 1 | Opracował: mgr inż. Maciej Konieczny | Sprawdził: mgr inż. Wojciech Lubiński |
| Nazwa projektu Sprawozdanie z pomiarów natężenia pól elektromagnetycznych wykonanych dla celów ochrony środowiska | Nazwa rysunku Rozmieszczenie pionów pomiarowych | Nr sprawozdania: OS/0233/23 | |
| Nr rysunku PSZ2009B/1 | Skala 1:1500 | Data: 30.06.2023 | |



Legenda:
 ⑩ - Punkty (piony) pomiarowe

